

## Typová lokalita Starovice a modelování přírodě blízkých opatření modely Bilan, HEC-HMS a HYPE

**Adam Vizina, Miriam Dzuráková a kol.**

**Název a sídlo organizace:**

Výzkumný ústav vodohospodářský T. G. Masaryka, v.v.i., Podbabská 2582/30 Praha 6 160 00

**Zadavatel:**

Ministerstvo životního prostředí, Odbor ochrany vod

**Zahájení a ukončení úkolu:**

duben 2017 - duben 2018

**Místo uložení zprávy:**

VÚV TGM, v.v.i.

**Ředitel:**

Ing. Tomáš Urban

**Náměstek ředitele pro výzkumnou a odbornou činnost:**

Ing. Libor Ansorge, Ph.D.

**Vedoucí odboru:**

Ing. Anna Hrabánková

**Řešitelé:**

Ing. Adam Vizina, Ph.D., Ing. Miriam Dzuráková, Ing. Luděk Strouhal, Ing. Vojtěch Moravec (ČZU), Ph.D., Ing. Pavla Štěpánková, Ph.D., Doc. Ing. Martin Hanel, Ph.D., Ing. Roman Kozín, Ing. Adam Beran, Ing. Kamila Osičková, Ing. Jana Uhrová, Ph.D., Ing. Miloš Rozkošný, Ph.D.

# Obsah

<b>1</b>	<b>Úvod</b>	<b>3</b>
1.1	Metodika řešení . . . . .	3
1.1.1	Metoda CN křivek . . . . .	3
1.1.2	Hydrologický model Bilan . . . . .	5
1.1.3	Model HEC-HMS . . . . .	6
1.1.4	Model HYPE . . . . .	8
<b>2</b>	<b>Modelování</b>	<b>9</b>
2.1	Opatření . . . . .	11
2.1.1	Suchá retenční (ochranná) nádrž (odkaz na katalog) . . . . .	11
2.1.2	Svodný průleh (odkaz na katalog) . . . . .	13
2.1.3	Přehrážka (odkaz na katalog) ve stabilizované dráze soustředěného odtoku (DSO) (odkaz na katalog) . . . . .	14
2.1.4	Zasakovací pásy (odkaz na katalog) . . . . .	15
2.1.5	Agrotechnická opatření (odkaz na katalog) . . . . .	16
2.2	Klima . . . . .	17
2.3	Návrhové srážky . . . . .	19
2.4	Analýza trendů . . . . .	20
2.5	Výsledky modelování hydrologické bilance modelem Bilan . . . . .	21
2.6	Výsledky modelování modelem HEC-HMS . . . . .	22
2.7	Výsledky modelování modelem HYPE . . . . .	23
<b>3</b>	<b>Závěr</b>	<b>28</b>

# Seznam obrázků, map a grafů

1	Umístění povodí . . . . .	10
2	Umístění povodí (satelitní mapa) . . . . .	11
3	Navržená společná zařízení na ortofoto (Zdroj: ČÚZK) . . . . .	12
4	Suchá retenční nádrž - rozsah zátopy . . . . .	13
5	Suchá retenční nádrž – hráz s bezpečnostním železobetonovým kašnovým přelivem	14
6	Profil svodného průlehu . . . . .	15
7	Měrný přeliv se srážkoměrem pod silničním propustkem . . . . .	16
8	Zatrávněná přehrážka ve stabilizované (zatrávněné) DSO . . . . .	17
9	Měsíční srážkové úhrny za období 1961-1990, 1991-2005 a 2006-2015 ve formě boxplotů . . . . .	18
10	Průměrné měsíční teploty vzduchu za období 1961-1990, 1991-2005 a 2006-2015 ve formě boxplotů . . . . .	18
11	Návrhové srážky s dobou opakování 2, 5, 10, 20 a 50 let . . . . .	19
12	Průběh 5-min intenzit návrhových srážek . . . . .	20
13	Rozdělení jednotlivých typů návrhové srážky . . . . .	20
14	Analýza trendů srážek a teplot vzduchu pomocí Mann-Kendall testu . . . . .	21
15	Hodnoty CN pro zájmové území a různé vláhové podmínky . . . . .	21
16	Průměrné měsíční odtokové výšky ve formě boxplotů pro jednotlivé varianty hodnocení . . . . .	22
17	Změny měsíčních odtokových výšek ve formě boxplotů (pře opatřením a po realizaci opatření) . . . . .	23
18	Měsíční odtokové výšky za období 1961-1990, 1991-2005 a 2006-2015 ve formě boxplotů bez opatření (BEZ) a s opatřením (OP) . . . . .	24
19	Návrhové průtoky dle N - letostí pro jednotlivé typy vln (čárkovaně-před opatřením, plně-po opatření) . . . . .	25
20	Anorganický dusík . . . . .	26
21	Organický dusík . . . . .	27
22	Pevný fosfor . . . . .	27
23	Rozpustný fosfor . . . . .	28



## Seznam tabulek

1	Hodnoty CN II pro jednotlivé kategorie půdního pokryvu a hydrologické skupiny půd . . . . .	4
2	Hodnoty CN II pro jednotlivá opatření a hydrologické skupiny půd . . . . .	30
3	Vyhodnocení krátkodobých srážko-odtokových epizod . . . . .	32

# 1 Úvod

V předložené studii je rámcově kvantifikován vliv přírodě blízkých retenčních opatření na hydrologický systém jednotlivých povodí. Navržený postup umožňuje stanovit hodnoty parametrů modelů Bilan a HMS pro povodí, jehož hydrologický systém je ovlivněn plošnými a liniiovými přírodě blízkými retenčními opatřeními. Cílem je vyhodnocení jednotlivých opatření jak na dlouhodobý hydrologický režim, tak na extrémní odtoky v daných lokalitách.

Hodnocení jednotlivých opatření bylo provedeno v následujících scénářích:

1. bez opatření - normální stav (pro dlouhodobou bilanci)
2. bez opatření - kritický stav (pro extrémní odtoky)
3. navržená opatření - normální stav (pro dlouhodobou bilanci)
4. navržená opatření - kritický stav (pro extrémní odtoky)

## 1.1 Metodika řešení

Pro hodnocení ovlivnění odtokového režimu byla použita metoda SCS-CN v kombinaci se dvěma hydrologickými modely. Posouzení vlivu na dlouhodobou hydrologickou bilanci bylo provedeno pomocí modelu Bilan, pro posouzení vlivu na extrémní odtoky byl využit konceptuální model HMS a pro hodnocení kvality vody model HYPE.

### 1.1.1 Metoda CN křivek

Metoda SCS-CN je v ČR známa jako metoda odtokových křivek (CN z anglického Curve Number) je založena na experimentálním výzkumu. Metoda je celosvětově oblíbená vzhledem ke své jednoduchosti a stále se hojně využívá, přestože má mnohá teoretická omezení. Používá se ke stanovení velikosti přímého odtoku (povrchový odtok plus rychlý podpovrchový odtok) na základě znalosti úhrnu příčné srážky a hydrologických vlastností půdy a půdního pokryvu. Metoda byla testována a ověřena mnohými výzkumy a studii odtokových poměrů. V malých povodích existuje dobrá korelace mezi naměřenou výškou odtoku a výškou odtoku stanovenou metodou SCS-CN. Průměrné hodnoty CN pro libovolné území lze snadno určit z běžných datových podkladů s využitím nástrojů GIS. Metoda CN křivek může být použita při navrhování vodohospodářských opatření a drobných staveb nacházejících se v ploše povodí nebo na vodních tocích do velikosti povodí  $5 \text{ km}^2$  (Havlík a Fremrová, 2010). Mezi opatření a stavby prováděných v ploše povodí patří např. technická protierozní opatření jako jsou

dráhy soustředěného povrchového odtoku, zatravněné údolnice, průlehy, záchytné příkopy nebo zasakovací pásy, mezi typické stavby na malých vodních tocích pak patří malé vodní nádrže nebo suché nádrže (Smelík, 2016).

Metoda byla odvozena na zemědělsky využívaných povodích, jejichž plocha není větší než  $10\text{km}^2$ . Zejména pro velká povodí je potřeba u výsledků výpočtu počítat se značnými nepřesnostmi. Dalším faktorem ovlivňujícím přesnost metody zejména pro extrémální úlohy je časové rozložení intenzit srážek, které metoda CN nezohledňuje a pro jakýkoliv zvolený průběh srážky dává totožný objem odtoku. Průměrná hodnota CN se pro konkrétní území určuje jako plošný vážený průměr hodnot pro jednotlivé pozemky. Tato detailní čísla se stanovují obvykle podle metodických tabulek. Pro potřeby projektu byly hodnoty CN převzaty z originální metodiky (SCS, 1986). Pro přiřazení CN k elementárním odtokovým plochám je potřeba znát druh půdního pokryvu (PP) a hydrologickou skupinu půd (HSP). Datová vrstva PP byla odvozena ze ZABAGED se zjednodušením na 10 kategorií povrchu. Pro určení hydrologické skupiny půd byla využita volně dostupná data BPEJ pro zemědělskou půdu a vrstva Lesních typů od ÚHÚL překlasifikovaná na HSP dle metodiky (Macků, 2012). Tabelované hodnoty CN se zpravidla vztahují k průměrnému vlhkostnímu stavu danému indexem předchozí srážky (IPS2), pro potřeby extrémálního modelování byly hodnoty CN II dále přepočteny i pro nasycený stav daný indexem IPS3. Pro každé řešené území byly určeny průměrné hodnoty CN II a CN III, které byly následně přepočteny na jim příslušnou retenci. Tyto hodnoty jsou nezbytné pro stanovení parametru  $Spa$  v hydrologickém modelu BILAN a objem přímého odtoku v modelu HMS. V následující tabulce 1 jsou uvedeny tabelované CN II hodnoty pro jednotlivé kombinace HSP a PP.

Tabulka 1: Hodnoty CN II pro jednotlivé kategorie půdního pokryvu a hydrologické skupiny půd

<b>Typ</b>	<b>A</b>	<b>B</b>	<b>C</b>	<b>D</b>
Orná půda (úhor/obilniny)	77/64	86/75.5	91/83.5	94/87.5
Chmelnice	40.8	63	74.8	80.8
Vínice	40.8	63	74.8	80.8
Sad	39.5	62	74.5	80.5
Trvalý travní porost	34.5	59.5	72.5	79
Zahrada, park	49	69	79	84
Lesní půda se stromy	30	55	70	77
Křovinaté porosty	32.5	57	70.5	77.5
Vodní plocha	98	98	98	98
Antropogenizované plochy	81	88	91	93

Hodnoty CN II pro jednotlivá navržená opatření byly určeny podle originální metodiky (SCS, 1986) tak, že jim byly přiřazeny hodnoty CN podle charakterově nejbližší kategorii půdního pokryvu. Rozdíly v hodnotách CN oproti původnímu stavu udávají změnu v odtokových poměrech způsobené daným typem opatření, výsledné hodnoty jsou zobrazeny v tabulce 2. Hodnoty -1 označují opatření modelovaná jiným způsobem, než změnou CN.

### 1.1.2 Hydrologický model Bilan

Pro modelování hydrologické bilance byl použit model Bilan, který je vyvíjen více jak 15 let na oddělení hydrologie Výzkumného ústavu vodohospodářského T. G. Masaryka, v.v.i. Model počítá v denním či měsíčním časovém kroku chronologickou hydrologickou bilanci povodí či území. Vyjadřuje základní bilanční vztahy na povrchu povodí, v zóně aerace, do níž je zahrnut i vegetační kryt povodí a v zóně podzemní vody. Jako ukazatel bilance energie, která hydrologickou bilanci významně ovlivňuje, je použita teplota vzduchu. Výpočtem se modeluje potenciální evapotranspirace, územní výpar, infiltrace do zóny aerace, průsak touto zónou, zásoba vody ve sněhu, zásoba vody v půdě a zásoba podzemní vody. Odtok je modelován jako součet tří složek: dvě složky přímého odtoku (zahrnující i hypodermický odtok) a základní odtok (Vizina et al., 2015). Pro modelování hydrologické bilance byla použita měsíční verze modelu, která má 8 parametrů. Pro samotný odtok má největší význam parametr  $Spa$ , který udává retenci půdy v povodí a parametr  $Grd$  udávající odtok ze zásob podzemních vod (základní odtok).

Vstupem do modelu jsou denní či měsíční:

- srážkové úhrny [mm]
- průměrné teploty [st. C]
- průměrná vlhkost vzduchu [%]
- pozorované odtokové výšky [mm]
- užívání vody
- potenciální evapotranspirace [mm]

Pro hodnocení se využilo přístupu práce (Máca et al., 2016), kde pro stanovení parametru  $Spa$  byl identifikován následující lineární model na základě krokové regrese:

$$Spa = 0,71S_3 + 88,91D_d - 8,89St + 65,76, \quad (1)$$

kde hlavní soubor deskriptorů je tvořen  $S_3$  maximální retencí pro II. typ předchozích vláhových podmínek [mm];  $D_a$  je hustota říční sítě povodí [ $km/km^2$ ] a  $St$  průměrný sklon říční sítě v [%]. Celý soubor představuje statisticky významné vstupní veličiny, což bylo potvrzeno výsledky F testu a t-testů, koeficient determinace lineárního modelu je roven 0,33.

Pro parametr  $Grd$  byl krokovou regresí stanoven následující lineární model:

$$Grd = 0,02St - 0,003S_{max} + 0,23, \quad (2)$$

kde soubor deskriptorů je tvořen  $St$  průměrným sklonem říční sítě v [%],  $S_{max}$  maximálním lokálním sklonem v povodí v [%]. Opět výsledný model obsahuje statisticky významné vysvětlující geomorfologické veličiny podle F testu a t-testů, koeficient determinace je roven 0,17.

Pro samotné stanovení parametrů modelu byly vypočteny pro jednotlivá povodí hydrogeomorfologické charakteristiky jako:

- hustota říční sítě,
- průměrný sklon říční sítě,
- sklonitost povodí,

kteří jsou také vstupem pro odvození parametrů hydrologického modelu.

### 1.1.3 Model HEC-HMS

Pro hydrologickou praxi velmi dobře známý HEC-HMS je veřejně dostupný a bezplatně poskytovaný nástroj vyvíjený v americkém Hydrologic Engineering Center. Jedná se o softwarové prostředí umožňující využití řady výpočetních modelů a metod, z nichž asi nejrozšířenější je metoda odtokových křivek SCS-CN. Výstupem metody je odtoková výška nebo také úhrn efektivní srážky. S využitím vstupního hyetogramu příčinné srážky lze s touto metodou odvodit i hyetogram efektivní srážky. Velkou nevýhodou této metody je, že hodnota výsledné odtokové výšky není závislá na časovém rozložení příčinné srážky. Odtoková výška ze dvou srážek s totožným úhrnem ale s průběhy např. v podobě rovnoměrného deště nízké intenzity a přívalovou srážkou je rovněž totožná, což neodpovídá fyzikálním principům tvorby přímého odtoku. Z tohoto důvodu je třeba opatrnosti při interpretaci výsledků modelu, neboť objemy odtoku i kulminační průtoky mohou být u přívalových srážek podhodnoceny.

Pro určení výsledného odtoku z příčinné srážky je nutné hyetogram efektivní srážky získaný metodou SCS-CN transformovat do odtokové odezvy. V HMS lze k tomuto účelu využít opět

řadu metod, nejznámější je pravděpodobně metoda jednotkového hydrogramu. Jedná se o jedno- či víceparametrickou matematickou funkci rozkládající jednorázový srážkový impulz do odtokové vlny. Parametry určující tvar hydrogramu lze odvodit často z hydro-morfologických charakteristik povodí, například maximální délky odtokové dráhy a průměrného sklonu povodí.

Pro určení dopadů navržených opatření na extrémní odtoky byly v HMS sestaveny modely povodí ve všech řešených lokalitách a to ve dvou variantách – před a po realizaci opatření. Podle velikosti povodí a umístění případných retenčních prvků na vodních tocích sestával model z jednoho až šesti dílčích podpovodí. Pokud realizací navrženého opatření došlo ke změně hydrologického povodí, byla tato skutečnost v modelu zahrnujícím opatření rovněž reflektována rozšířením plochy zdrojových povodí. Pro určení objemu odtoku byly použity průměrné hodnoty CN II spočtené dle 1 a 2, u orné půdy pak byly použity hodnoty pro nejvíce rizikový scénář, tedy holý úhor. Pro transformaci odtoku byla zvolena metoda SCS jednotkového hydrogramu, která vyžaduje pouze jeden parametr, dobu zpoždění, určenou z hodnoty CN II, maximální délky odtokové dráhy a průměrného sklonu povodí. Poslední dvě jmenované hodnoty byly určeny na základě DMT z rozlišením 10 m s využitím hydrologických nástrojů v prostředí ArcGIS.

Všechny modely povodí byly zatíženy sadou šestihodinových návrhových srážek s dobou opakování  $N = 2, 5, 10, 20$  a 50 let a to v několika variantách průběhu intenzity srážky. Návrhové úhrny byly určeny individuálně pro každé povodí, ale shodně pro všechna dílčí podpovodí v rámci řešeného povodí. Úhrny byly získány pomocí webové processingové služby (WPS) poskytované pracovištěm ČVUT <http://rain.fsv.cvut.cz/webapp/webove-sluzby/>.

Krátkodobé srážky, které jsou nejčastější příčinou extrémních odtoků z malých povodí, se vyznačují značnou časovou variabilitou průběhu. (Müller et al., 2017). Odvodili na území ČR šest typických průběhů šestihodinových srážek A-F včetně četnosti jejich výskytu v závislosti na poloze a době opakování. Stejně jako návrhové úhrny byly tyto četnosti výskytu ve všech povodích získány s využitím zmíněné WPS služby. Pro modelování v HMS pak byly vybrány typy průběhů s významným zastoupením (více než 17%) při dvou a více dobách opakování. Ve většině případů se jedná o průběhy typické pro přívalové srážky, pouze typ F je charakteristický pro frontální události a předběžné analýzy předchozích podmínek ukazují na častý příchod tohoto typu srážky do již nasycených podmínek. Proto byly srážky s průběhy A-E použity na modely povodí s průměrným stavem předchozího nasycení (CN II), zatímco pokud se v dané lokalitě častěji vyskytovala srážka typu F, byl použit vyšší stav nasycení (CN III).

V modelování odezvy povodí na extrémní srážky byly zohledněny významné retenční prvky – větší rybníky, vodní nádrže (současné i navržené) a navržené suché nádrže. Výpočet transformace umožňuje HMS na základě definice výpustních objektů a křivek zásobní funkce

nádrže či zatopených ploch. Objekty byly specifikovány orientačně na základě dimenzí typických pro daný typ stavby, případně odhadem dle ortofoto snímku. Zásobní funkce nádrže byly odvozeny v GIS na základě DMT a mapových podkladů. V případě navržených *opatření na stávajících VN* byla uvažována redukováná výchozí hladina v nádrži v úrovni 20 cm pod hranou přelivu.

Posledním typem modelovaného opatření je revitalizace vodního toku a přilehlé nivy. Pro transformaci odtokové vlny ve vodním toku využívá HMS jednoduchou hydrologickou metodu Muskingum-Cunge. Pro definici transformace je nutné zadat délku a sklon říčních úseků, geometrii koryta a jeho hydraulické drsnosti. Délka a sklon byly určeny v GIS, geometrie byla definována zjednodušeně jako jednoduché kapacitní lichoběžníkové koryto pro ovlivněné úseky toku a jako složené lichoběžníkové koryto s širokými bermami pro přírodě blízké úseky. Jako příslušné výchozí drsnosti byly použity hodnoty 0.025, respektive 0.025 či 0.03. Pokud byla v povodí navržena revitalizace vodního toku, byla v daném úseku o 30% navýšena délka, příslušným způsobem snížen podélný sklon, příčný profil změněn na přírodě *blízkou variantu* a zvýšena hydraulická drsnost na 0.03 či 0.035.

#### 1.1.4 Model HYPE

HYPE je semidistribuovaný open-source hydrologický model (Arheimer et al., 2012), který funguje na bázi fragmentace povodí na subpovodí, která jsou dále rozdělena do skupin hydrologicky rezponzivních jednotek (HRJ), které jsou výsledkem kombinace rastrových vrstev, jmenovitě vrstva digitálního modelu terénu, vrstva sklonitosti, vrstva krajinného krytu, vrstva základních hydropedologických ukazatelů (hloubka hydrologicky aktivní vrstvy půdy a skeletovitost půdy) a volitelně v rámci modelování kvality vody vrstva plodinových map popřípadě drenážních systémů. Jednotlivé HRJ mají unikátní hydrologický režim, jež je ovládán příslušnými parametry modelu. HRJ vstupují do modelu ve formě procentuálního zastoupení každé HRJ v rámci jednotlivých povodí. Model uvažuje až tři půdní vrstvy s rozdílnými hloubkami pro přesnější simulaci pohybu nutrientů půdou. Model pracuje se třemi skupinami parametrů, které jsou vázány buď globálně nebo na druh krajinného pokryvu nebo na typ půdy.

Kromě zmiňovaných rastrových vstupů jsou dále vstupem do modelu charakteristiky vodních děl, zejména těch manipulovaných, jmenovitě hloubka, objem, plocha, typ vodní nádrže, průměrný odtok z nádrže, minimální zůstatkový odtok z nádrže a řada dalších. Vstupem do modelu je také procentuální zastoupení vodních ploch na povodí, které bylo odvozeno z vektorové vrstvy nádrží z databáze DIBAVOD. Stejně tak délka hlavního toku a délka vedlejších toků. Protože na experimentálních lokalitách nejsou k dispozici údaje o průtocích ani záznamy o kvalitě vody, byly vybrány analogony (povodí s podobnými charakteristickými

vlastnostmi, která měla k dispozici buď měření průtoků, nebo údaje o kvalitě vody, a na která byl model kalibrován), na které byly přeneseny parametry modelu z experimentálních lokalit. Poněvadž zatím nebylo známo uskupení pěstovaných rostlin v daných experimentálních lokalitách, byly aplikovány standardní hodnoty pro obecnou plodinu, kterou byla zvolena obilovina.

Z důvodu chybějících údajů pro jednotlivé lokality (viz výše), bylo modelování vlivu adaptačních opatření na jakost vody provedeno formou citlivostní analýzy vnitřních komponent modelu, které lze považovat za formy některých adaptačních opatření.

Zmiňovanými komponenty byly:

1. **změna struktury půdy:** uvažována záměna jemnozrné půdy za půdu hrubozrnou, a to v pětiprocentním kroku, jinými slovy v každém kroku bylo z povodí odebráno 5 % půdy jemnozrné a přidáno 5 % půdy hrubozrné.
2. **změna krajinného krytu (landuse):** uvažována záměna orné půdy za luční porost, a to v pětiprocentním kroku, jinými slovy v každém kroku bylo z povodí odebráno 5 % orné půdy a přidáno 5 % lučního porostu.
3. **změna v množství dávkovaných hnojiv:** bylo uvažováno odečítání v desetiprocentním kroku od standardního dávkování, dokud dávkování nebylo rovno 0 % standardní dávky a naopak přičítání k standardnímu dávkování dokud dávkování nebylo rovno 200 % standardní dávky.
4. **změna v množství atmosférické (suché i mokré) depozice dusíku:** bylo uvažováno odečítání ve dvacetipětiprocentním kroku od standardních hodnot atmosférické depozice, dokud depozice nebyla rovna 0 % standardní depozice a naopak přičítání k standardní hodnotě atmosférické depozice dokud depozice nebyla rovna 200 % standardní depozice.
5. **změna teploty ovzduší o 2 st. C:**<sup>1</sup> bylo uvažováno zvýšení veškeré vstupní teploty do modelu o 2 st. C.

## 2 Modelování

Katastrální území Starovice se nachází v Jihomoravském kraji v okrese Břeclav a je součástí povodí Dyje. Jedná se o intenzivně zemědělsky využívanou krajinu s nízkou ekologickou

<sup>1</sup>Spíše než jako adaptační opatření byla tato změna zavedena za účelem zjištění citlivosti modelu na zvýšení teploty v rámci jakosti vody.





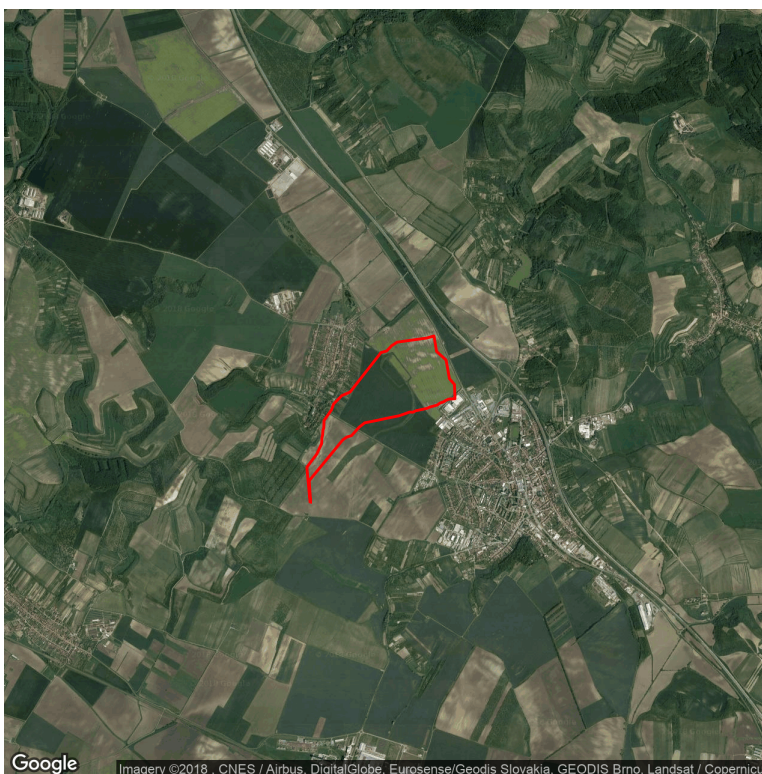
Obrázek 1: Umístění povodí

hodnotou. Ochranná opatření byla navržena v rámci procesu pozemkových a následně před realizací optimalizována. Komplexní systém realizovaných společných zařízení tvoří suchá retenční nádrž, svodný průleh na části doplněn hrázkou, stabilizovaná dráha soustředěného odtoku s přehrázkou a zasakovací pásy. Systém je doplněn návrhem plošných agrotechnických opatření (odkaz na katalog). Cílem všech opatření je zejména protipovodňová ochrana intravilánů obcí Hustopeče a Starovice, zvláště pozitivně se stavba projevuje v zábraně povodňových škod na bytových domech ve městě Hustopeče. Dalšími neméně podstatnými cíli je snížení erozního smyvu, zvýšení ekologické stability krajiny, zadržení vody v krajině a sedimentace splavenin. Recipientem, do kterého je odtok z nádrže v obci Starovice zaústěn, je Starovický potok. Veškerá plocha zájmového hydrologicky uzavřeného celku povodí o celkové ploše  $1,54 \text{ km}^2$  je zemědělsky využívána s minimálním podílem ostatních ploch v podobě zpevněné polní cesty s příkopem.

Umístění řešené lokality je zobrazeno na mapě 1 a satelitní mapa, kde je možné sledovat krajinný pokryv je poté na mapě 2. Navržená společná zařízení jsou na obrázku ??.

Základní charakteristiky hodnoceného povodí Starovice:

- plocha povodí:  $0,843 \text{ km}^2$



Obrázek 2: Umístění povodí (satelitní mapa)

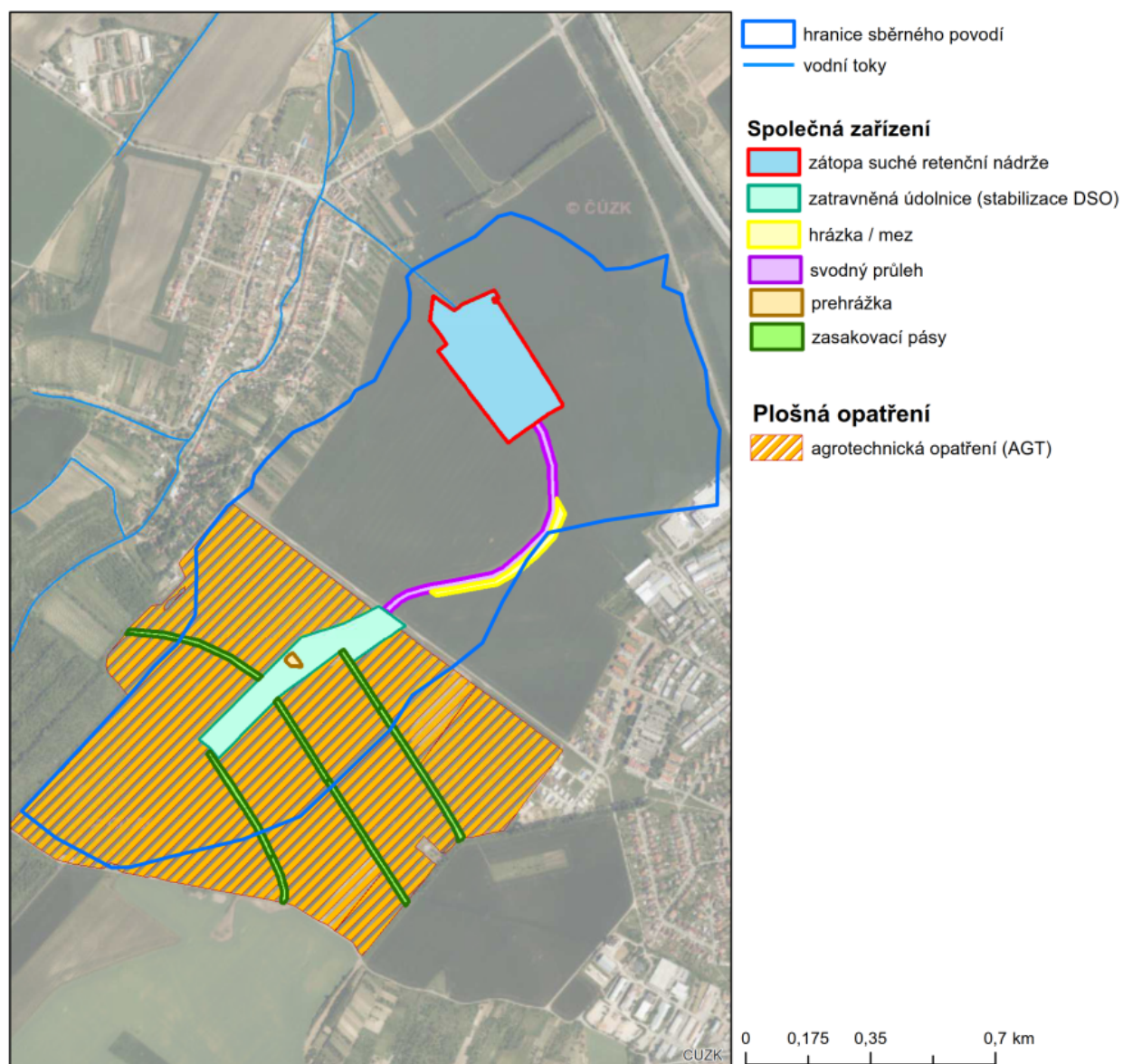
- průměrný srážkový úhrn: 514.8 *mm*
- průměrná teplota: 9.59 *st.C*
- průměrná roční potenciální evapotranspirace: NaN *mm*
- průměrná nadmořská výška: 212.01 *mn.m.*
- průměrná sklonitost: 2.4 %

## 2.1 Opatření

V zájmové lokalitě Starovice jsou navržena tato opatření:

### 2.1.1 Suchá retenční (ochranná) nádrž ([odkaz na katalog](#))

Suchá retenční nádrž byla navržena v rámci jednoduchých pozemkových úprav na údolnici na orné půdě. Hlavním přínosem retenční nádrže je protipovodňová ochrana a také zvyšuje estetickou hodnotu krajiny. Retenční objem nádrže je 33 800  $m^3$  a maximální možný objem pak 56 070  $m^3$  při max. hloubce 3,1 m. Těleso hráze bylo vybudováno jako zemní hráz se



Obrázek 3: Navržená společná zařízení na ortofoto (Zdroj: ČÚZK)

sklonem 1 : 2,8 na návodním líci a 1 : 2 na vzdušném líci, výškou 3,7 m a délkou 216,70 m. V ose hráze se nachází těsnící zářez a v patě svahu vzdušného líce je vybudován odvodňovací drén z betonových trubek, zaústěný do revizní šachty a z ní pak do skluzu. Byl navržen bezpečnostní železobetonový kašnový přeliv s výpustným otvorem u dna nádrže na  $Q_{100} = 10,1 \text{ m}^3 \cdot \text{s}^{-1}$ , drsný skluz z rovinaniny z kamenů prolité betonem a výtok nádrže opatřen česlemi. Do nádrže je zaústěn svodný průleh s hrázkou, který byl vybudován jako součást komplexu ochranných opatření. Jejich účinek byl prokázán ihned po výstavbě, kdy byly přívalové srážky zachyceny a nedošlo tak k rozlití do intravilánů obcí, jako se to stávalo často před realizací



tohoto opatření. Retenční nádrž s průlehem byly vybudovány v letech 2006–2007 a náklady na realizaci těchto dvou opatření činily 12 000 000 Kč.



Obrázek 4: Suchá retenční nádrž - rozsah zátopy

### 2.1.2 Svodný průleh ([odkaz na katalog](#))

Svodný průleh zaústěný do suché retenční nádrže má délku 825 m, propojuje suchou nádrž s propustkem pod zpevněnou komunikací a převádí vodu mezi dílčími povodími. V místě, kde trasa průlehu přechází mezi povodími, je průleh opatřen hrázkou. Koruna hrázky je cca 0.6 m nad stávajícím terénem, šířka hrázky v koruně je 2 m. Sklony svahů hrázky jsou 1:5. Hrázka je ohumusována a oseta travní směsí. Profil průlehu je miskovitý se sklony svahů 1:5 s průměrnou hloubkou 1,2 m. Dno i svahy průlehu jsou ohumusovány a osety travní směsí. Pod místní zpevněnou komunikací je vybudován propustek DN 1000 délky 12,5 m. V délce 20 m za propustkem je osazen měrný přeliv, kde probíhá kontinuální měření VÚMOP. Hlavním přínosem svodného průlehu je protipovodňová ochrana a díky zatravnění a opevnění profilu průlehu také snížení erozního smyvu. Jeho realizací došlo k zásadnímu snížení možného zanášení retenčního prostoru suché nádrže. Retenční nádrž s průlehem byly vybudovány



Obrázek 5: Suchá retenční nádrž – hráz s bezpečnostním železobetonovým kašnovým přelivem

v letech 2006–2007 a náklady na realizaci těchto dvou opatření činily 12 000 000 Kč.

### 2.1.3 Přehrážka ([odkaz na katalog](#)) ve stabilizované dráze soustředěného odtoku (DSO) ([odkaz na katalog](#))

Přehrážka slouží zejména jako sedimentační prvek s cílem zachytit částice půdy a zároveň zadržet vodu v krajině. Stabilizační a těsnicí část přehrážky je zajištěna s využitím technologie PROTEX společnosti KOEXPRO OSTRAVA. Tři stabilizační vaky jsou umístěny pyramidově na sebe. Celková nominální výška přehrážky je 1,36 m, skutečná výška vaků po instalaci činila 0,99 m. Po ohumusování a osetí činí výška přehrážky 1,1 m. Minimální výška zadržené vody je 0,67 m, při vyšším nadržení voda přechází přes bezpečnostní přeliv v levé části přehrážky až do výšky stoleté vody, která činí maximálně 0,94 m ( $Q_{100} = m^3 \cdot s^{-1}$ ). V pravém i levém břehu byla osázena zelení pro větší stabilitu svahu. V lokalitě bylo dále provedeno zatravnění celé údolnice v celkové výměře cca 5,5 ha. Zatravněná DSO má za cíl zpevnit





Obrázek 6: Profil svodného průlehu

dráhu odtoku za svahu a svádí vysoké průtoky do propustku zaústěného do svodného průlehu pod zpevněnou polní cestou. Do DSO jsou napojeny zasakovací pásy. Tím došlo k celkovému zvýšení ekologické stability krajiny a zadržetí vody v krajině. DSO byla doplněna o výsadbu dřevin – stromů a keřů, které zvýší ekologickou a estetickou hodnotu opatření, které může následně plnit funkci prvku ÚSES. Přehrážka ve stabilizované DSO byla budována v letech 2015–2016.

#### 2.1.4 Zasakovací pásy ([odkaz na katalog](#))

Čtyři zasakovací pásy šířky 15 m jsou realizovány na svažitéch pozemcích v horní části sběrného povodí, jejich lokalizace je znázorněna na Obr. 1. Hlavním účelem těchto pásů je snížení množství povrchového odtoku a splavenin v intenzivně využívaných zemědělských tratích, zpestření bloků orné půdy a tím i zmírnění erozních projevů. Pro co největší účinnost je vhodné toto opatření doplnit o plošná agrotechnická opatření, kdy je navrženo konturové obdělávání pozemků – pojezdy by měly probíhat víceméně horizontálním směrem. Realizace zasakovacích pásů proběhla v roce 2017.



Obrázek 7: Měrný přeliv se srážkoměrem pod silničním propustkem

### 2.1.5 Agrotechnická opatření ([odkaz na katalog](#))

Agrotechnická opatření jsou založena zejména na zkrácení času, kdy je půda bez vegetačního pokryvu, na minimum. Hlavní funkcí je ochrana půdy, tedy zamezení degradace půdy a snížení erozního smyvu a celkově dochází ke zlepšení vodního režimu v půdě. Mezi agrotechnická plošná opatření patří např. technologie ochranného zpracování půdy, hrázkování, důlování, mulčování, setí do krycí plodiny apod.

#### Internetové odkazy k lokalitě

[http://adaptan.net/uploads/vystupy/6\\_Osveta/Letaky/starovice\\_poldr\\_cz\\_office.pdf](http://adaptan.net/uploads/vystupy/6_Osveta/Letaky/starovice_poldr_cz_office.pdf)

[http://www.koexpro.cz/new/koex/soubory/cz/2016\\_eroze.pdf](http://www.koexpro.cz/new/koex/soubory/cz/2016_eroze.pdf)



Obrázek 8: Zatravněná přehrážka ve stabilizované (zatravněné) DSO

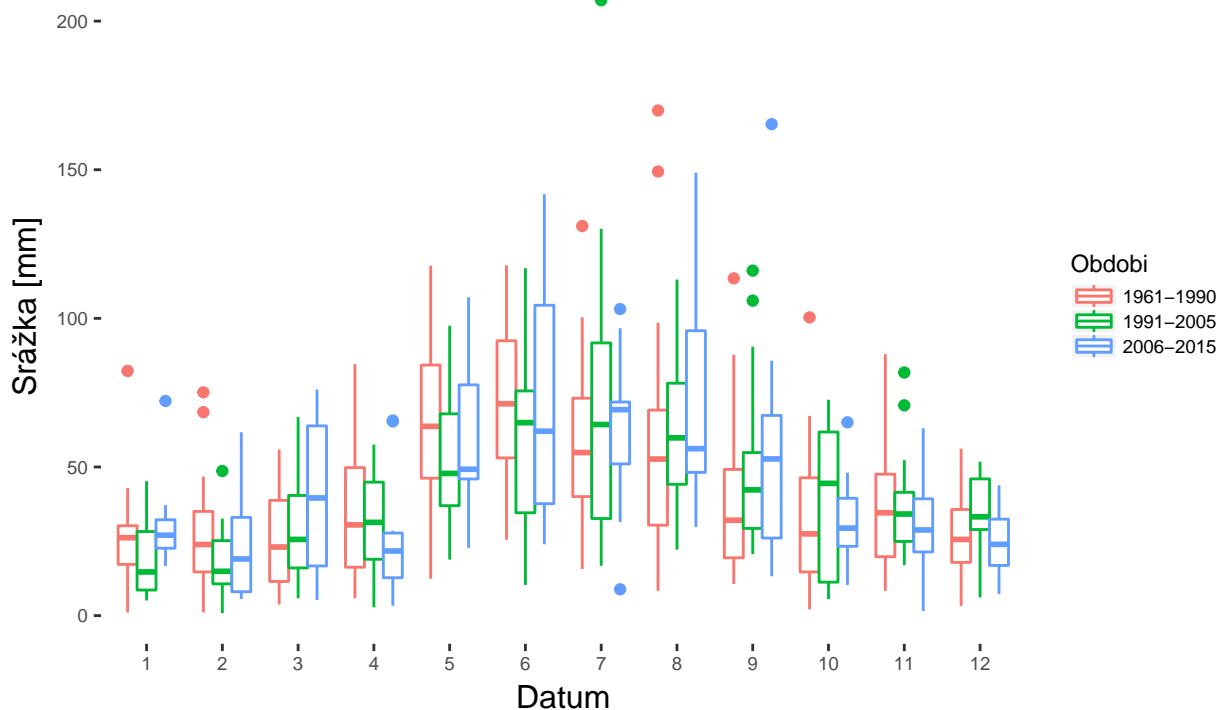
## 2.2 Klima

Vyhodnocení klimatologických veličin bylo provedeno pomocí boxplotů<sup>2</sup> pro 3 časová období: 1961-1990, 1991-2005 a 2006-2015. Jednotlivá období jsou od sebe barevně odlišena. Na grafu 9 lze vidět, že prostřední období 1991-2005 bylo srážkově nadprůměrné a současný stav se přiblížil podmínkám v období 1961-1990 (z pohledu průměrných měsíčních úhrnů).

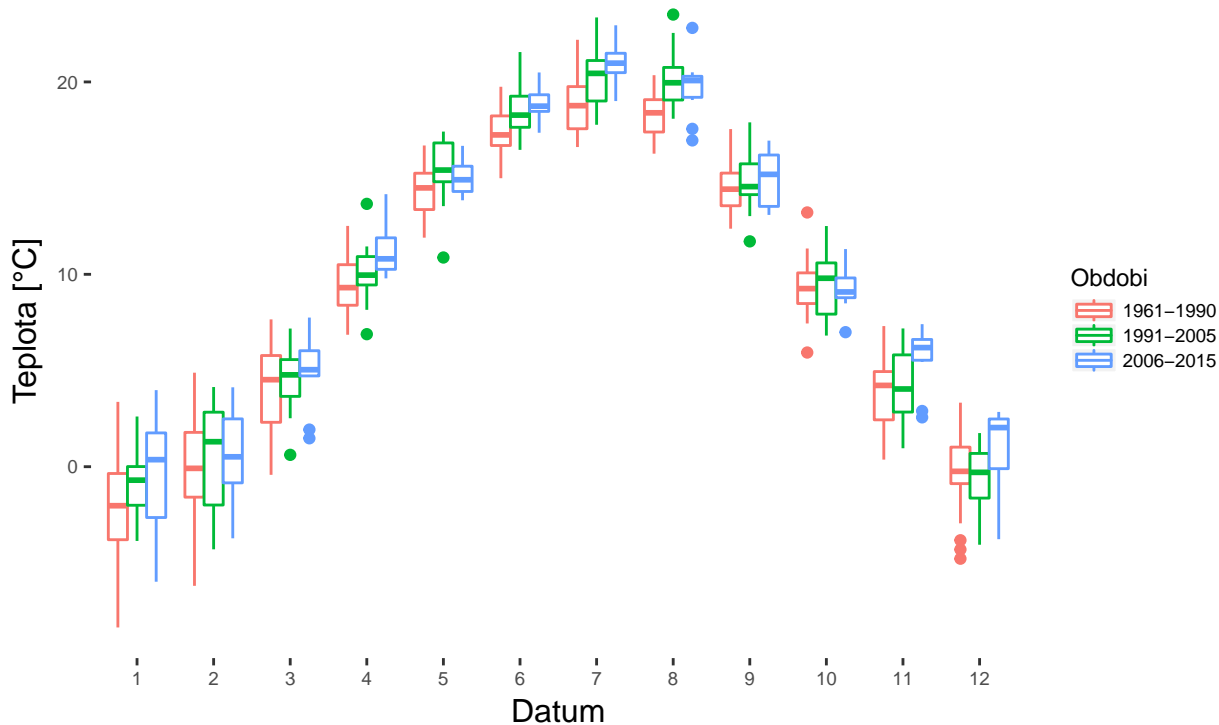
Pro hodnocení změn teplot vzduchu za období 1961-2015 je zvolen graf typu boxplot (10). Hodnoceny jsou průměrné měsíční teploty vzduchu za období 1961-1990, 1991-2005 a 2006-2015. Můžeme pozorovat výrazný nárůst teplot, a to především v zimních a letních měsících. Což s sebou v zimě snižené zásoby ve sněhu a dřívější jarní tání (pokud jsou zásoby sněhové pokrývky) a v létě výrazným nárůstem evapotranspirace.

<sup>2</sup>Boxplot neboli krabicový graf či krabicový diagram jeden ze způsobů grafické vizualizace numerických dat pomocí jejich kvartilů. Střední krabicová část diagramu je shora ohraničena 3. kvartilem, zesponu 1.

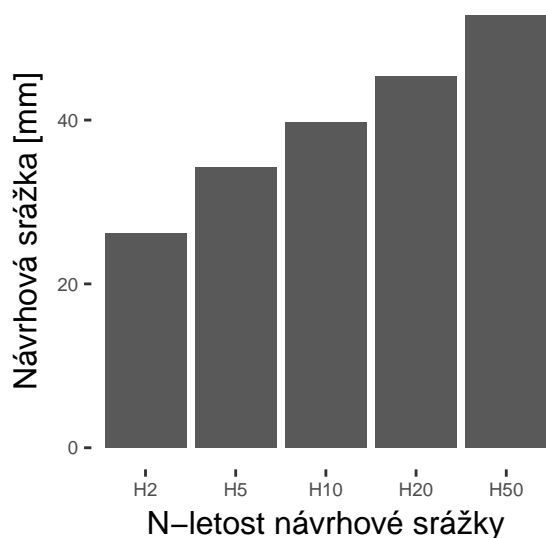




Obrázek 9: Měsíční srážkové úhrny za období 1961-1990, 1991-2005 a 2006-2015 ve formě boxplotů



Obrázek 10: Průměrné měsíční teploty vzduchu za období 1961-1990, 1991-2005 a 2006-2015 ve formě boxplotů



Obrázek 11: Návrhové srážky s dobou opakování 2, 5, 10, 20 a 50 let

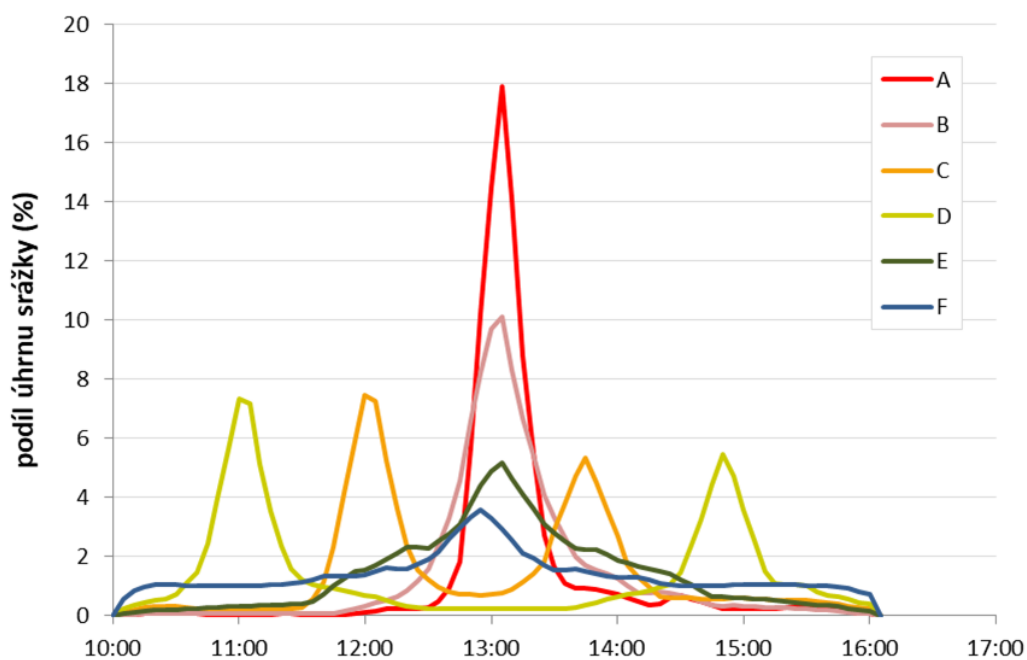
### 2.3 Návrhové srážky

Pro posouzení modelem HEC-HMS byly odvozeny návrhové srážky pro lokalitu Starovice s dobou opakování 2, 5, 10, 20 a 50 let . Pro odezvu malých povodí jsou klíčové krátkodobé intenzivní srážky, uvažovány byly srážky 6hodinové, pro které jsou k dispozici volně dostupná data o úhrnech a časových průbězích prostřednictvím webové processingové služby (WPS) <http://rain.fsv.cvut.cz/webapp/webove-sluzby/>. Návrhové 6hodinové úhrny jsou zobrazeny na grafu 11.

Průběh návrhové srážky významně ovlivňuje hydrologickou odezvu. Rozmanitost průběhů je velmi značná a z těchto důvodů byly použity šestihodinové hyetogramy, které jsou uvedeny na následujícím obrázku. Tvary hyetogramů jsou označeny písmeny A až F, kdy tvary A, B, E a F mají jednoduchý průběh.

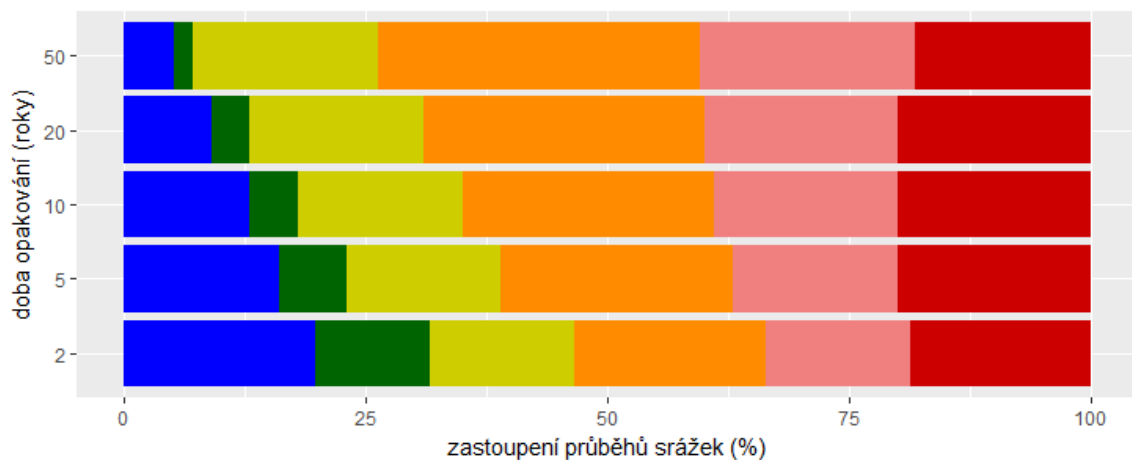
---

kvartilem a mezi nimi se nachází linie vymežující medián.



Obrázek 12: Průběh 5-min intenzit návrhových srážek

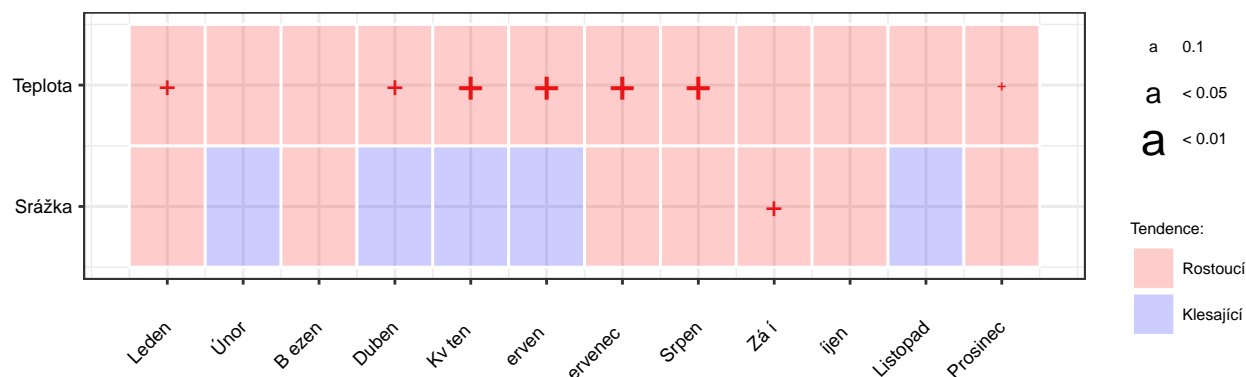
Pravděpodobnost výskytu návrhové srážky pro danou N-letost je zobrazena v dalším grafu.



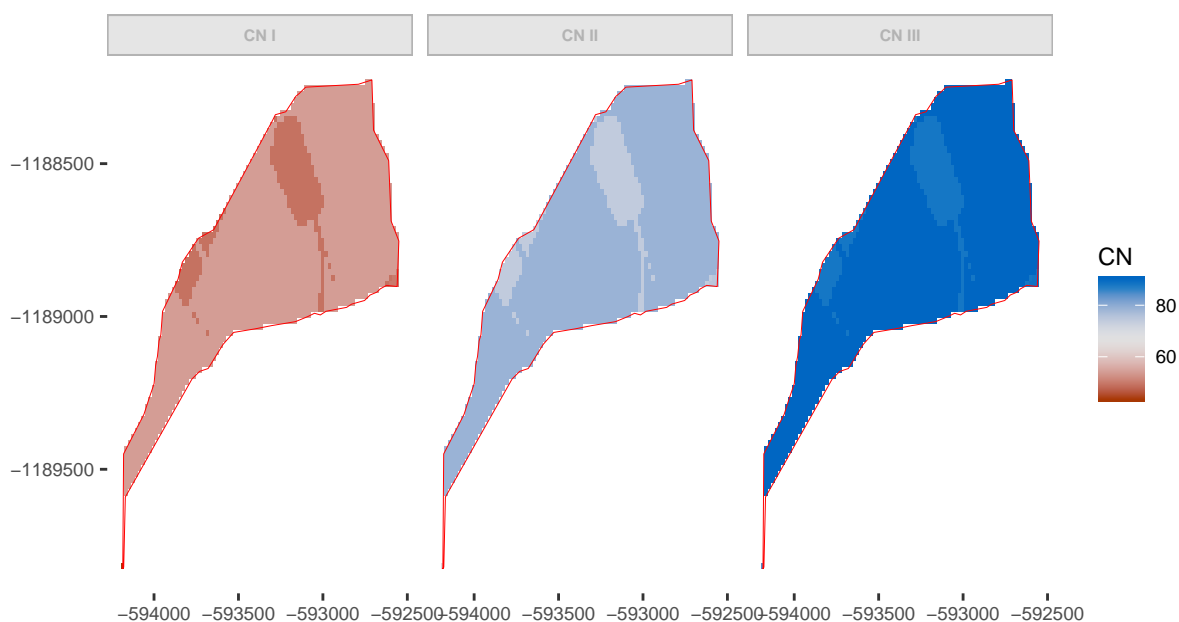
Obrázek 13: Rozdělení jednotlivých typů návrhové srážky

## 2.4 Analýza trendů

Zdali existují změny v jednotlivých měsících a jestli jsou tyto trendy statisticky významné za období 1961-2015 bylo posouzeno Mann-Kendalovým testem. Výsledky jsou zobrazeny



Obrázek 14: Analýza trendů srážek a teplot vzduchu pomocí Mann-Kendall testu



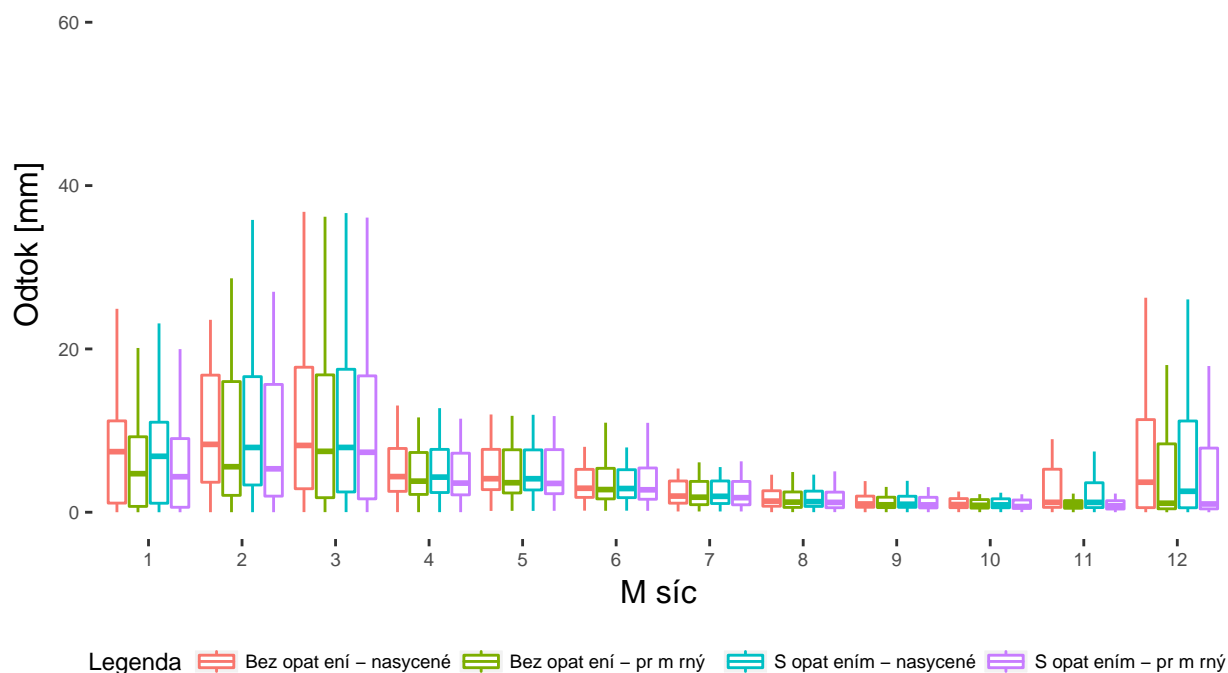
Obrázek 15: Hodnoty CN pro zájmové území a různé vláhové podmínky

na 14. Lze pozorovat statisticky významný nárůst teploty s vysokou hladinou významnosti především v měsících počátku vegetačního období, kdy naopak srážkové úhrny mají spíše tendenci klesat. Celkově srážkové úhrny spíše lehce rostou.

Na obrázku 15 jsou zobrazeny hodnoty CN I, CN II a CN III pro současné podmínky (bez navrhovaných opatření) a různé vláhové podmínky.

## 2.5 Výsledky modelování hydrologické bilance modelem Bilan

Na obrázku 16 jsou vyhodnoceny průměrné odtokové výšky za období 1961-2015 pro danou lokalitu a 4 scénáře. Na grafu 17 jsou zobrazeny změny odtokových výšek po aplikaci opatření pro průměrný a nasycený stav. Na grafech 18 jsou zobrazeny odtokové výšky v jednotlivých



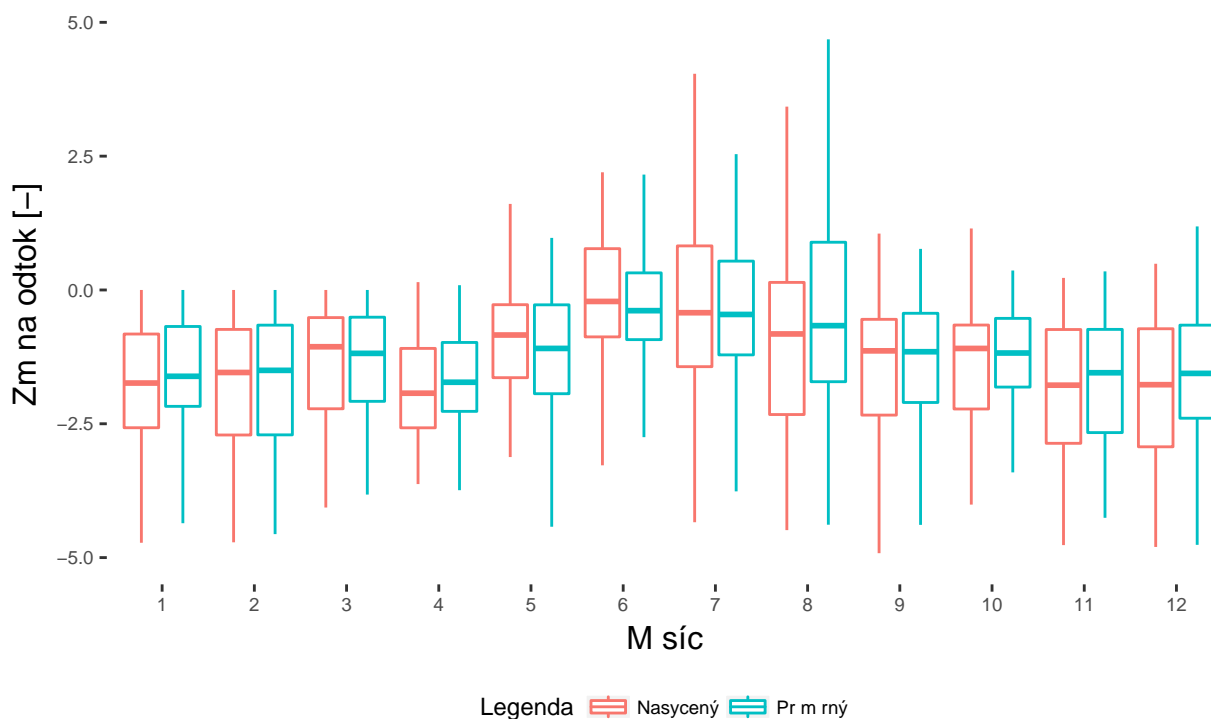
Obrázek 16: Průměrné měsíční odtokové výšky ve formě boxplotů pro jednotlivé varianty hodnocení

měsících rozdělených do 3 období: 1961-1990, 1991-2005 a 2006-2015 pro varianty před realizací opatření a po jejich realizaci.

## 2.6 Výsledky modelování modelem HEC-HMS

V zájmové lokalitě Starovice byla navržena rozsáhlá organizační a agrotechnická protierozní opatření doplněná technickými protierozními opatřeními (záchytné příkopy) a suchou nádrží. Z hlediska průběhů krátkodobých srážek se v lokalitě vyskytují téměř všechny typy srážek s výjimkou typu E, jak ukazuje ???. Ovlivnění odtokové odezvy na extrémní návrhové srážky s těmito průběhy a s dobami opakování 2-50 let ukazuje 19 a procentuální snížení kulminačních průtoků, objemu odtoku do konce simulace a posun kulminace je vyčíslen v 3.

Z uvedených hodnot v 3 je patrné, že navržená opatření v tomto případě zvyšují potenciální objem odtoku z extrémních srážek v posuzovaném závěrovém profilu až o 80 %. To je dáno tím, že technické prvky PEO (záchytné příkopy) zvětšují sběrnou plochu povodí oproti původnímu stavu. Nicméně navržená suchá nádrž má potenciál kompenzovat nárůst v kulminačních průtocích na původní úroveň pro dobu opakování 2 roky, pro extrémnější události je pak redukce kulminací podstatně významnější (to je dáno parametry výtokových objektů). Z hlediska průběhu příčinných srážek je zajímavé, že nejvyšší odtoky nejsou generovány rovnoměrnou srážkou typu F, která byla modelována s vyšším počátečním stavem nasycení IPS3. To



Obrázek 17: Změny měsíčních odtokových výšek ve formě boxplotů (pře opatřením a po realizaci opatření)

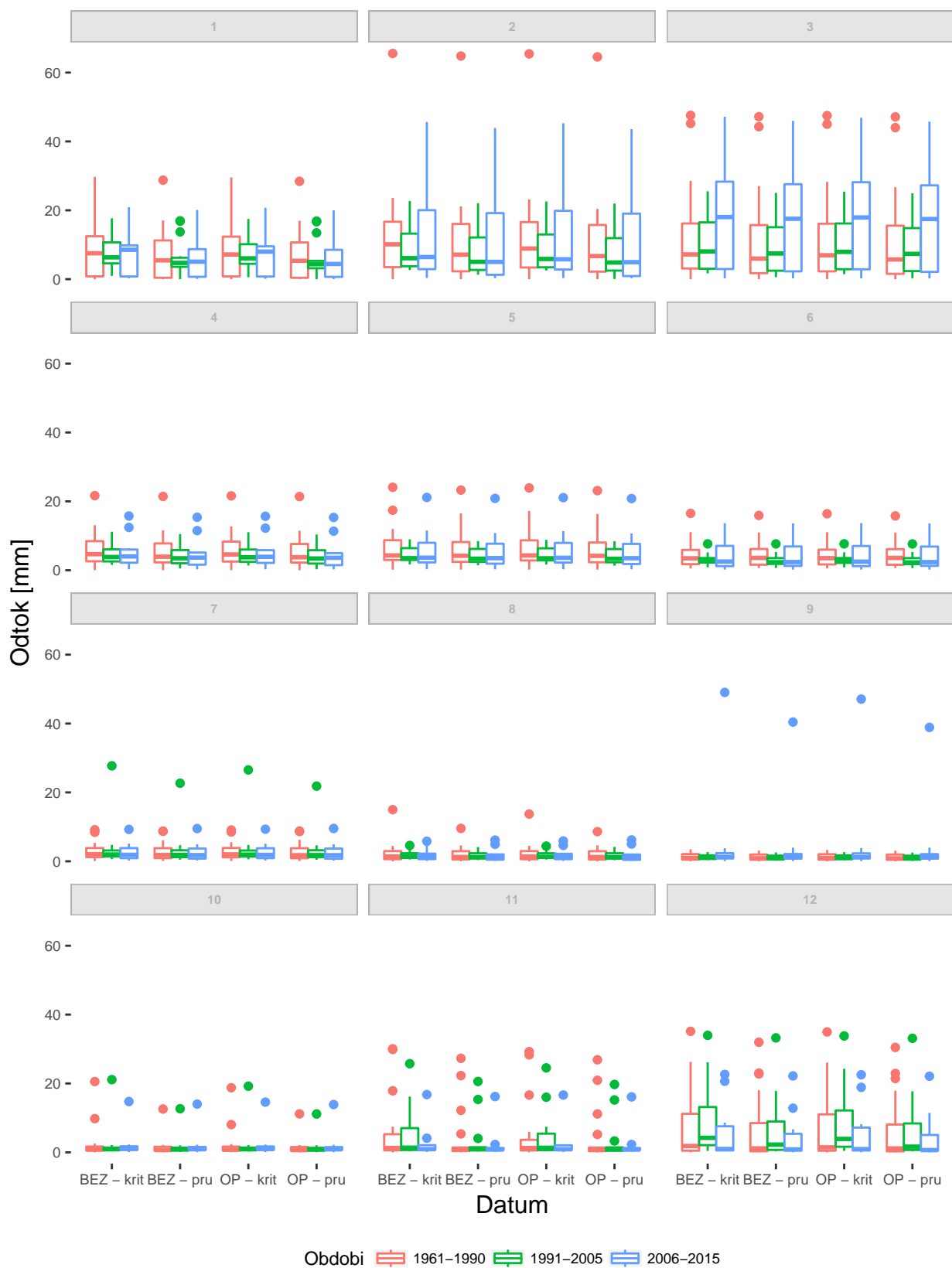
je způsobeno charakterem půdního pokryvu v povodí, v němž převládá orná půda. Pro ornou půdu totiž rozdíly v retenci mezi stavy IPS2 a IPS3 nejsou již tolik podstatné, alespoň tedy z pohledu hodnot CN, při fyzikálním modelování by byly rozdíly patrně dramaticky vyšší. Dominantní úlohu mezi srážkovými průběhy, kterých se na tomto povodí vyskytuje rovnoměrně často hned pět typů z šesti, má nejkoncentrovanější přívalová srážka typu A.

% latex table generated in R 3.4.2 by xtable 1.8-2 package % Sun May 6 14:09:37 2018

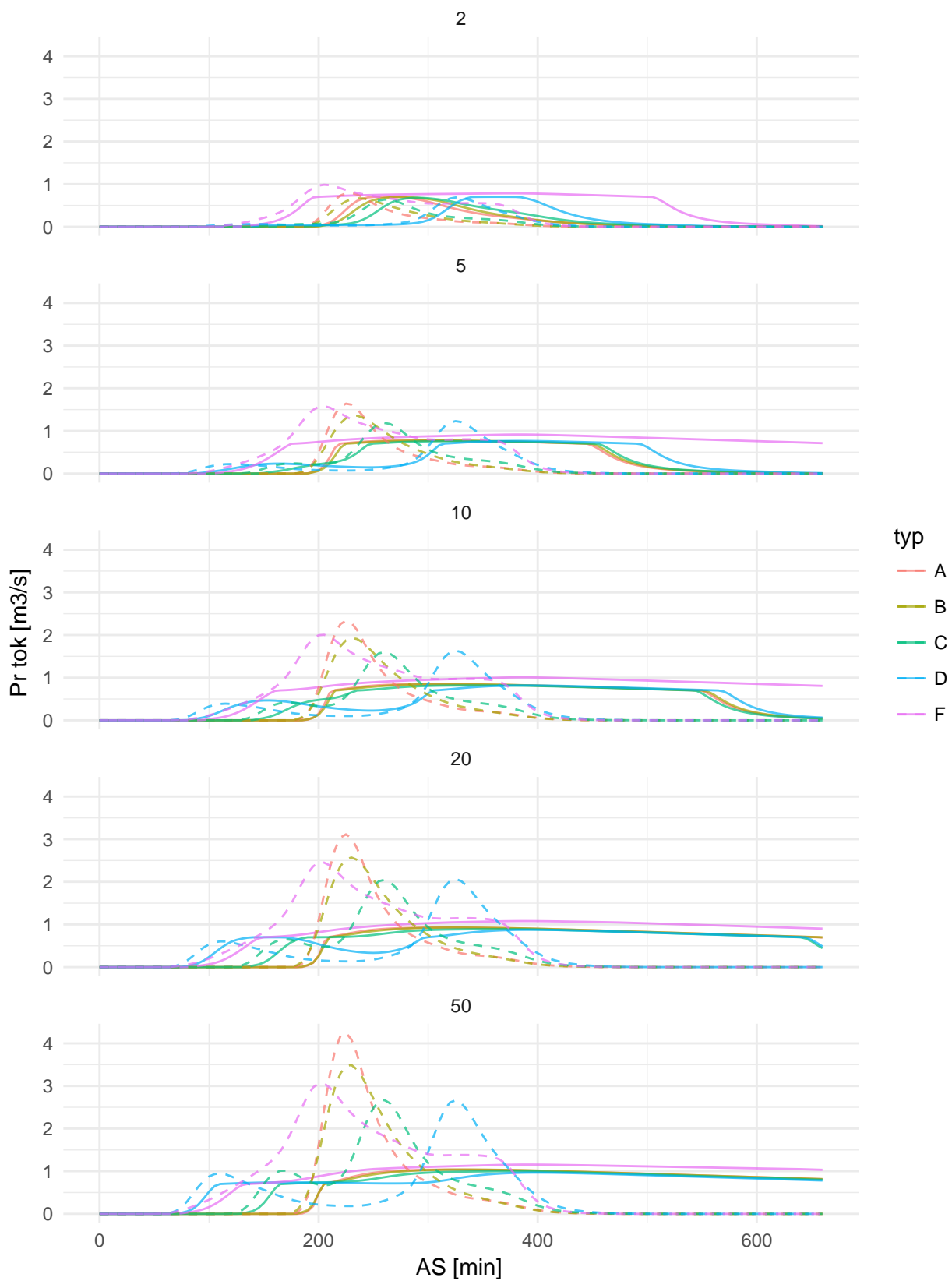
## 2.7 Výsledky modelování modelem HYPE

Obrázky 20, 21, 22 a 23 sumarizují citlivostní analýzu a dávají jasnou představu o tom jaká komponenta modelu má vliv na tu kterou koncentraci modelovaných látek. Na ose Y lze vidět danou komponentu modelu (adaptační opatření) na ose X pak procentuální změnu dané komponenty, přičemž hodnota (resp. barva) dlaždice udává průměrnou hodnotu změny od výchozí modelované koncentrace. Modrá barva značí pokles od výchozí koncentrace, naopak červená značí nárůst od výchozí koncentrace a bílá barva reprezentuje nulovou změnu.

Hodnotový rozsah je pro každou látku specifický, poněvadž jejich koncentrace v povodích, respektive v tocích je rozdílná. Obecně lze vyvozovat, že s přechodem z jemnozrnné půdy na půdu s hrubší strukturou klesá koncentrace všech čtyř modelovaných látek (jmenovitě



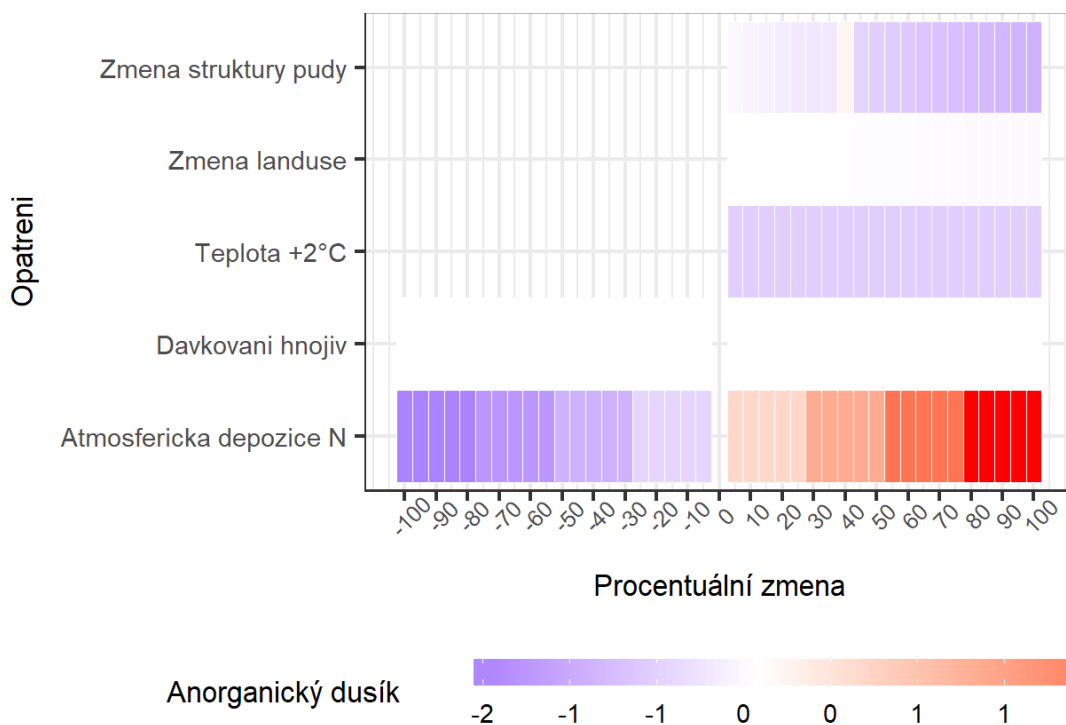
Obrázek 18: Měsíční odtokové výšky za období 1961-1990, 1991-2005 a 2006-2015 ve formě boxplotů bez opatření (BEZ) a s opatřením (OP)



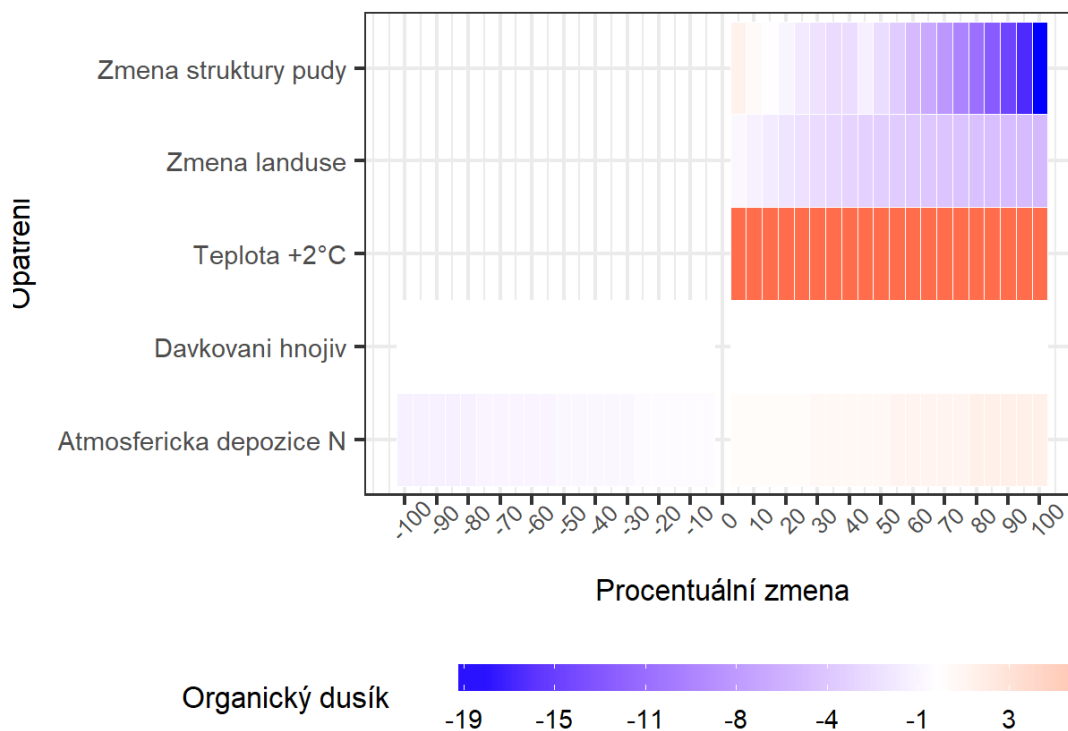
Obrázek 19: Návrhové průtoky dle N - letostí pro jednotlivé typy vln (čárkovaně-před opatřením, plně-po opatření)



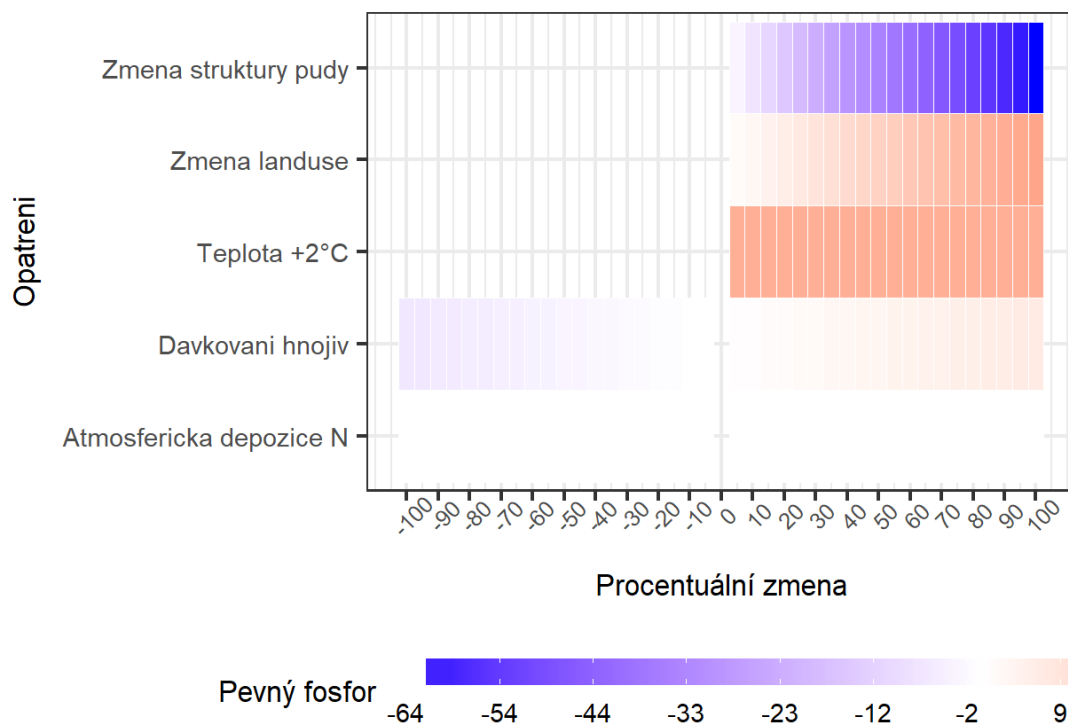
anorganický dusík, organický dusík, pevný fosfor a rozpustný fosfor). Přechod z orné půdy na luční porost zapříčiňuje pokles koncentrace dusíku a rozpustného fosforu, nikoliv však pevného fosforu. Dávkování hnojiv má vliv pouze na fosfor v obou fázích a jejich výsledná koncentrace kladně koreluje s mírou dávkování, dusík zůstává neměnný. Stejně tak atmosférická depozice dusíku logicky kladně koreluje s mírou koncentrace dusíku v tocích. Zvýšení teploty o 2 st. C zapříčiňuje nárůst pevného fosforu a organického dusíku a naopak pokles rozpustného fosforu a anorganického dusíku.



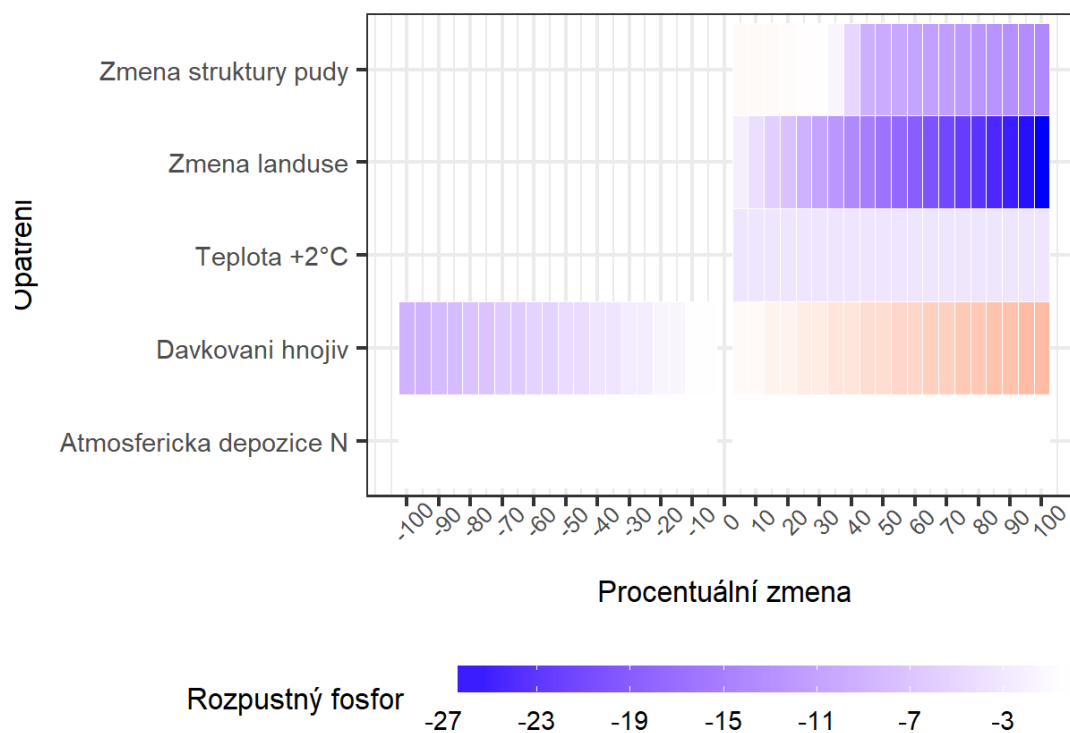
Obrázek 20: Anorganický dusík



Obrázek 21: Organický dusík



Obrázek 22: Pevný fosfor



Obrázek 23: Rozpustný fosfor

### 3 Závěr

Na lokalitě Starovice je dlouhodobě výrazně negativní bilance (srážky-potenciální evapotranspirace), což vede k nízkým odtokovým výškám, a to především v letních obdobích. Navržená a realizovaná opatření způsobí pokles odtoku především v zimním období, kdy tato voda zůstane zadržena v krajině. V letním období nebude docházet ke změnám průměrných odtoků a k poklesu dojde v měsících září a říjen. Je otázka, zda-li by nová suchá nádrž nemohla sloužit také jako částečně retenční a v období nedostatku částečně dotovat tok.

Navržená opatření v tomto případě zvyšují potenciální objem odtoku z extrémních srážek v posuzovaném závěrovém profilu až o 80 %. To je dáno tím, že technické prvky PEO (záchytné příkopy) zvětšují sběrnou plochu povodí oproti původnímu stavu. Nicméně navržená suchá nádrž má potenciál kompenzovat nárůst v kulminačních průtocích na původní úroveň pro dobu opakování 2 roky, pro extrémnější události je pak redukce kulminací podstatně významnější.

Obecně lze vyvozovat, že s přechodem z jemnozrnné půdy na půdu s hrubší strukturou klesá koncentrace všech čtyř modelovaných látek (jmenovitě anorganický dusík, organický dusík,

pevný fosfor a rozpustný fosfor). Přechod z orné půdy na luční porost zapříčiňuje pokles koncentrace dusíku a rozpustného fosforu, nikoliv však pevného fosforu. Dávkování hnojiv má vliv pouze na fosfor v obou fázích a jejich výsledná koncentrace kladně koreluje s mírou dávkování, dusík zůstává neměnný.

## References

- Arheimer, B., Dahné, J., Donnelly, C., Lindström, G., Strömqvist, J. (2012) Water and nutrient simulations using the HYPE model for Sweden vs. the Baltic Sea basin—influence of input-data quality and scale. *Hydrology research*, 43(4), 315–329.
- Havlík, A., Fremrová, L. (2010) TNV 75 2102 Úpravy potoků.
- Macků, J. (2012) Problematika stanovení hydrologických skupin půd v lesích. In *Krajinné inženýrství 2012*, Ministerstvo zemědělství, Praha, 15–22, ISBN 978-80- 87384-03- 9.
- Müller, M., Kašpar, M., Bližňák, V. (2017) Rainfall time structure variability depending on precipitation depths and duration.
- Máca, P., Bašta, P., Kožín, R., Hanel, M. (2016) Využití geomorfologických charakteristik pro odhad celkové retence povodí. *Vodohospodářské technicko-ekonomické informace*, 58(6), 54–57.
- SCS (1986) Urban hydrology for small watersheds. Technická zpráva, Engineering Division, Soil Conservation Service, US Department of Agriculture, Washington, DC.
- Smelík, L. (2016) Analýza změn odtokových poměrů pro Českou republiku. *Vodohospodářské technicko-ekonomické informace*, 58(4), 7–12.
- Vizina, A., Horáček, S., Hanel, M. (2015) Nové možnosti modelu Bilan. *Vodohospodářské technicko-ekonomické informace*, 57(4–5), 7–10.

Tabulka 2: Hodnoty CN II pro jednotlivá opatření a hydrologické skupiny půd

<b>Opatření</b>	<b>A</b>	<b>B</b>	<b>C</b>	<b>D</b>
Zasakovací pásy	34.5	59.5	72.5	79
Svodný průleh	34.5	59.5	72.5	79
Svodný příkop	81	88	91	93
Vyloučení erozně nebezpečných plodin	77	86	91	94
Protierozní agrotechnika -širokoř. kultury	64	74	81	85
Vyloučení širokořádkových plodin mírnější	75.5	84.5	89.5	92
Vyloučení erozně nebezpečných plodin a protierozní agrotechnologie	74	83	88	90
Plošné TTP (zatravnění plošné dle HPJ)	34.5	59.5	72.5	79
Stabilizace drah soustředěného odtoku	34.5	59.5	72.5	79
Ochranné pásy podél vodních toků a vod. ploch	34.5	59.5	72.5	79
Zatravnění na speciálních kulturách	37.6	61.3	73.6	79.9
Plošné TTP (zatravnění plošné dle sklonu)	34.5	59.5	72.5	79
Plošné TTP (zatravnění plošné dle eroze)	34.5	59.5	72.5	79
Polní cesta zpevněná s příkopem	83	89	92	93
Ochranný sad, vinice	37.6	61.3	73.6	79.9
Zatravnění	34.5	59.5	72.5	79
Agrotechnika mírnější	75.5	84.5	89.5	92
Agrotechnika přísnější	74	83	88	90
Mez, hrázka	32.5	57	70.5	77.5
Záchytný průleh	34.5	59.5	72.5	79
Větrolam	30	55	70	77
Mokřad	83	89	92	93
Vodní nádrž nová	98	98	98	98
Biocentrum	30	55	70	77
Biokoridor	30	55	70	77
Interakční prvek	30	55	70	77
Opatření na stávajících VN	-1	-1	-1	-1
Přehrážka	83	89	92	93
Revitalizace toku a nivy	-1	-1	-1	-1
Suchá nádrž	34.5	59.5	72.5	79

	N (roky)	TYP	Qpre	Qpo	Vpre	Vpo	Tpre	Tpo	dQ	dV	Posun
1	2	A	0.80	0.70	3 551	5 590	13:50	14:20	-12%	57%	30
2	2	B	0.70	0.70	3 551	5 592	13:55	14:35	5%	57%	40
3	2	C	0.60	0.70	3 551	5 590	14:20	14:50	7%	57%	30
4	2	D	0.70	0.70	3 551	5 585	15:25	16:00	2%	57%	35
5	2	F	1.00	0.80	9 269	16 437	13:25	16:15	-20%	77%	170
6	5	A	1.60	0.80	6 961	12 235	13:45	14:50	-53%	76%	65
7	5	B	1.40	0.80	6 961	12 236	13:55	15:05	-43%	76%	70
8	5	C	1.20	0.80	6 961	12 235	14:20	15:20	-36%	76%	60
9	5	D	1.20	0.80	6 961	12 217	15:25	16:25	-38%	76%	60
10	5	F	1.60	0.90	14 604	25 138	13:25	16:25	-42%	72%	180
11	10	A	2.30	0.80	9 700	17 872	13:45	15:05	-64%	84%	80
12	10	B	1.90	0.80	9 700	17 865	13:50	15:15	-56%	84%	85
13	10	C	1.60	0.80	9 700	17 891	14:20	15:45	-49%	84%	85
14	10	D	1.60	0.80	9 700	17 814	15:25	16:30	-50%	84%	65
15	10	F	2.00	1.00	18 502	28 143	13:25	16:25	-50%	52%	180
16	20	A	3.10	0.90	12 745	23 001	13:45	15:15	-70%	80%	90
17	20	B	2.60	0.90	12 745	22 902	13:50	15:25	-64%	80%	95
18	20	C	2.00	0.90	12 745	23 593	14:20	16:00	-57%	85%	100
19	20	D	2.10	0.90	12 745	23 513	15:25	16:35	-58%	84%	70
20	20	F	2.50	1.10	22 603	31 012	13:25	16:30	-56%	37%	185
21	50	A	4.20	1.00	17 144	26 068	13:45	15:20	-76%	52%	95
22	50	B	3.50	1.00	17 144	25 985	13:50	15:35	-70%	52%	105
23	50	C	2.70	1.00	17 144	27 029	14:20	16:15	-63%	58%	115
24	50	D	2.70	1.00	17 144	28 028	15:25	16:40	-64%	63%	75
25	50	F	3.10	1.20	28 251	34 144	13:20	16:30	-62%	21%	190

Tabulka 3: Vyhodnocení krátkodobých srážko-odtokových epizod

$N(\text{roky})$	$TYP$	$Q_{pre}$	$Q_{po}$	$V_{pre}$	$V_{po}$	$T_{pre}$	$T_{po}$	$dQ$	$dV$	$Posun$
2	A	0.80	0.70	3 551	5 590	13:50	14:20	-12%	57%	30
2	B	0.70	0.70	3 551	5 592	13:55	14:35	5%	57%	40
2	C	0.60	0.70	3 551	5 590	14:20	14:50	7%	57%	30
2	D	0.70	0.70	3 551	5 585	15:25	16:00	2%	57%	35
2	F	1.00	0.80	9 269	16 437	13:25	16:15	-20%	77%	170
5	A	1.60	0.80	6 961	12 235	13:45	14:50	-53%	76%	65
5	B	1.40	0.80	6 961	12 236	13:55	15:05	-43%	76%	70
5	C	1.20	0.80	6 961	12 235	14:20	15:20	-36%	76%	60
5	D	1.20	0.80	6 961	12 217	15:25	16:25	-38%	76%	60
5	F	1.60	0.90	14 604	25 138	13:25	16:25	-42%	72%	180
10	A	2.30	0.80	9 700	17 872	13:45	15:05	-64%	84%	80
10	B	1.90	0.80	9 700	17 865	13:50	15:15	-56%	84%	85
10	C	1.60	0.80	9 700	17 891	14:20	15:45	-49%	84%	85
10	D	1.60	0.80	9 700	17 814	15:25	16:30	-50%	84%	65
10	F	2.00	1.00	18 502	28 143	13:25	16:25	-50%	52%	180
20	A	3.10	0.90	12 745	23 001	13:45	15:15	-70%	80%	90
20	B	2.60	0.90	12 745	22 902	13:50	15:25	-64%	80%	95
20	C	2.00	0.90	12 745	23 593	14:20	16:00	-57%	85%	100
20	D	2.10	0.90	12 745	23 513	15:25	16:35	-58%	84%	70
20	F	2.50	1.10	22 603	31 012	13:25	16:30	-56%	37%	185
50	A	4.20	1.00	17 144	26 068	13:45	15:20	-76%	52%	95
50	B	3.50	1.00	17 144	25 985	13:50	15:35	-70%	52%	105
50	C	2.70	1.00	17 144	27 029	14:20	16:15	-63%	58%	115
50	D	2.70	1.00	17 144	28 028	15:25	16:40	-64%	63%	75
50	F	3.10	1.20	28 251	34 144	13:20	16:30	-62%	21%	190